

http://www.journals.zju.edu.cn/med

血糖“良好”控制的2型糖尿病患者动态血糖分析

徐小红,谷 卫,何晓雯

(浙江大学医学院附属第二医院,浙江 杭州 310009)

[摘要] 目的:了解临幊上认为血糖控制“良好”(糖化血红蛋白<7%)的2型糖尿病患者动态血糖波动状况。方法:选择糖化血红蛋白<7%的2型糖尿病患者32例,行72h连续动态血糖监测(CGMS),分析其血糖谱。结果:血糖控制“良好”的糖尿病患者仍有明显的餐后血糖过高现象,尤以早餐后明显,血糖峰值在早餐后1.7 h;血糖>7.8 mmol/L、11.1 mmol/L、13.9 mmol/L所占时间百分率分别为28%、13%、6%。3d CGMS中血糖>7.8 mmol/L曲线下面积与HbA1c正相关。同时还发现了无症状低血糖、持续高血糖(血糖大于13.9 mmol/L,持续2h以上)等現象。结论:一个看似血糖控制良好的糖尿病患者仍有较多高血糖发生,3d CGMS血糖谱可以反映患者总体血糖控制情况,其提供的信息有助于更全面了解血糖波动的细节,从而制定相应的治疗措施。

[关键词] 糖尿病,非胰岛素依赖型;血糖/分析;糖化血红蛋白;2型糖尿病;连续动态血糖监测

[中图分类号] R 587.1 **[文献标识码]** A **[文章编号]** 1008-9292(2005)06-0570-04

Glycemic patterns and excursions in well-controlled patients with type 2 diabetes mellitus

XU Xiao-hong, GU Wei, HE Xiao-wen (The Second Affiliated Hospital, College of Medicine, Zhejiang University, Hangzhou, 310009, China)

[Abstract] **Objective:** To evaluate the glycemic excursions in well-controlled (HbA1c<7%) patients with type 2 diabetes mellitus. **Methods:** Thirty-two patients with type 2 diabetes whose HbA1c were <7% underwent CGMS (continuous glucose monitoring system). **Results:** The highest blood glucose value was in 1.7 h after breakfast. The time duration for blood glucose levels of 7.8 mmol/L, 11.1 mmol/L and 13.9 mmol/L were 28%, 13% and 6%, respectively. The area above 7.8 mmol/L in blood glucose curve was significantly correlated with HbA1c levels. Asymptomatic hypoglycemia and continuous hyperglycemia (BS>13.9 mmol/L more than 2 hours) were also found in the study. **Conclusion:** The apparent hyperglycemia exists in well-controlled type 2 diabetic patients, and CGMS is useful in assessment of glycemia.

[Key words] Diabetes mellitus, non-insulin-dependent; Blood glucose/analysis; Glycosylated hemoglobin (HbA1c); Diabete mellitus type 2; Continuous glucose monitoring system(CGMS)

[J Zhejiang Univ (Medical Sci), 2005,34(6):570—573.]

英国糖尿病前瞻性研究(UKPDS)结果提示,严格的血糖控制可以明显减少糖尿病并发症的发生^[1]。因此,美国糖尿病协会(ADA)建议糖尿病控制的目标是糖化血红蛋白(HbA1c)<7.0%^[2]。那么临幊上认为血糖控制“达标”的患者是否其日间血糖均处于理想水平?期间有无血糖过高或过低現象?3d CGMS血糖谱能否如HbA1c一样,反映患者总体血糖控制情况?本研究目的在于通过对HbA1c达标的2型糖尿

病患者进行连续动态血糖监测(CGMS),分析其血糖谱,以了解这些患者具体的血糖波动细节状况。

1 对象和方法

1.1 对象 2型糖尿病患者32例,均来自我院

收稿日期:2005-03-21 修回日期:2005-06-08

作者简介:徐小红(1966—),女,硕士,副主任医师,主要从事内分泌专业工作;E-xuxiaohong@medmail.com.cn

住院患者,符合1999年WHO诊断标准^[3]。其中男25例,女7例,年龄39~70岁,平均(45.6±0.6)岁,病程3月~23年,平均HbA1c(6.4±0.5)%。入选要求:HbA1c<7%,使用口服降糖药物治疗,实验前2周无明显药物更改史。所有患者病情稳定,无急性并发症,并除外其它可能影响糖代谢的疾病。

1.2 方法 CGMS(Medtronic MiniMed)由专人操作。患者每日输入事件标记,如就餐、运动、服药等,同时每日至少输入4次指尖血血糖值(由德国罗氏血糖仪测定)以便校正。试验期间,要求患者尽可能少地调整他们的日常行为,进餐时间统一固定,早餐为:6:45AM,中餐:11:15AM,晚餐:5:15PM。用药时间遵医嘱,用药剂量不变。所有患者均耐受该仪器并完成3d CGMS监测,测试完毕后,将监测数据从血糖记录仪上下载入患者的文件夹中,通过数据处理软件得出32×3日血糖图、血糖数据小结等资料。平均CGMS佩带时间71 h±2 h。其中血糖大于7.8 mmol/L、11.1 mmol/L、13.9 mmol/L所占时间百分率及血糖大于7.8

mmol/L曲线下面积由CGMS血糖数据小结中读出。

HbA1c采用Bio-RAD公司提供的DiaSTAT低压层析HbA1c分析系统及试剂进行检测。

1.3 统计学处理 实验数据以 $\bar{x}\pm s$ 表示,应用SPSS软件进行统计学分析,采用Pearson相关系数分析变量间的相关性。同时使用Medtronic MiniMed公司提供的Software v2.0b软件。

2 结果

2.1 32例糖尿病患者平均24h血糖谱分布情况 见图1。由图1可见,即使认为血糖控制良好的糖尿病患者仍有明显的餐后血糖过高现象,尤以早餐后最为明显,且持续时间最长,而中、晚餐后血糖相似。所有糖尿病患者中,3d CGMS统计所得血糖波动的均值为7.3 mmol/L(图1的水平虚线),而平均每日血糖最低值出现在2:30AM左右。

2.2 32例2型糖尿病患者早餐后血糖峰值的

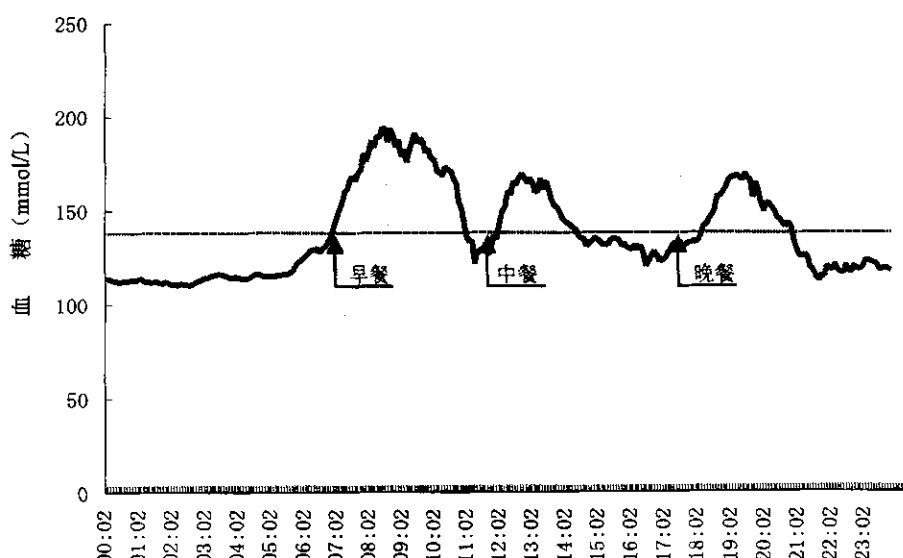


图1 32例2型糖尿病患者平均24 h血糖谱分布

Fig. 1 Twenty-four-hour glucose profile(mean) for patients of the study population

分布情况 其中32%患者血糖峰值处于早餐后~60 min,46%患者血糖峰值处于60~120 min,18%患者血糖峰值处于>120~180 min,

4%患者血糖峰值处于180 min以后。由此可见,2型糖尿病患者早餐后血糖峰值主要分布在餐后2 h以内。

2.3 32例糖尿病患者3d CGMS统计所得三餐后血糖峰值及出现时间 见表1。可见糖尿病患者三餐后血糖达峰时间不一,一般出现在每餐餐后1.5~1.8 h之间。

表1 32例糖尿病患者3d CGMS统计所得三餐后血糖峰值及出现时间

Table 1 The glycemic peak and location of post-meal in 32 type-2 diabetics mellitus

	餐后(h)	峰值(mg/ml)
早餐后	1.7	194
中餐后	1.5	170
晚餐后	1.8	169

2.4 32例糖尿病患者3d CGMS中,血糖超过7.8 mmol/L、11.1 mmol/L、13.9 mmol/L所占时间百分率分别为28%、13%、6%。

2.5 特殊血糖谱 发现4人次低血糖(血糖<50 mmol/L,持续15 min以上),其中3人次为无症状低血糖;1人次出现在中餐前,2人次出现在午夜。低血糖后高血糖见于2人次。持续高血糖(血糖>13.9 mmol/L,持续2 h以上),见于2人次。另外可见28人次大于11.1 mmol/L的血糖值,11人次大于13.9 mmol/L的血糖值。

2.6 3d CGMS中,血糖>7.8 mmol/L曲线下的面积与HbA1c相关关系分析示正相关($r=0.645, P=0.01$)。

3 讨论

HbA1c是反映血糖控制程度的最常用指标,但因其反映的是近两个月的整体血糖平均水平,故难以精确反映血糖控制的具体情况。既往常规的指尖血检测,均为某一点血糖,虽然可以代表几分钟内的血糖状况,却不能反映血糖变化的趋势和方向,即使一日多次检测,仍然可能漏掉许多波动的血糖细节。

CGMS技术的出现正好弥补了上述的缺陷,一日288个血糖数据可以捕捉到被常规指尖血检查方法漏掉或被HbA1c忽略的血糖波动的区间^[4],从而为更加详尽和准确地了解糖尿病患者血糖波动情况提供了便利。CGMS的

准确性、稳定性和实用性已经被许多研究所证实^[5~7],故在国外已广泛应用于临床糖尿病患者,而国内尚处于起步阶段。

血糖高低与糖尿病并发症的发生直接相关^[1],因此临幊上对血糖控制的要求不断提高。根据ADA建议,糖尿病控制的目标是HbA1c<7.0%^[2]。要进一步降低糖尿病并发症的发生率,就必须更好地控制血糖,使糖尿病患者全天24 h的血糖均处于良好的控制状态。

本研究发现,HbA1c达标的2型糖尿病患者仍有明显的血糖控制不理想现象,主要表现在三餐餐后血糖升高,其中尤以早餐后血糖升高最为明显,这与国外报道类似^[8]。我们分析了早餐后血糖峰值的分布情况,发现餐后0~60 min、>60~120 min、>120~180 min血糖高峰所占百分比分别为32%、46%、18%,说明按常规监测早餐后2 h血糖并不能完全了解患者血糖控制情况。同时我们还检测了3d CGMS中超过特定血糖值所占时间的百分率,血糖>7.8 mmol/L、11.1 mmol/L、13.9 mmol/L所占时间百分率分别为28%、13%、6%。而3d CGMS中血糖>7.8 mmol/L曲线下面积与HbA1c正相关,说明3d CGMS血糖谱可以代表总体患者血糖控制情况。

发现特殊的血糖谱是CGMS又一优势^[4],尤其是无症状低血糖。本研究发现3人次无症状低血糖,其中1例出现在中餐前,2例出现在午夜。低血糖发生率较国外报道低^[9],这可能与病例的选择及其治疗药物不同有关。另外,我们还发现了持续高血糖(血糖大于13.9 mmol/L持续2 h以上)患者2例。

研究结果提示,HbA1c<7.0%的糖尿病患者仍然有较多的高血糖情况存在,因此根据亚太地区2型糖尿病治疗指南(第3版)建议,将HbA1c<6.5%作为血糖控制新目标有其重要的临床实际意义。高血糖最多发生在每餐后1.5~1.8 h内,因此有必要对糖尿病患者进行该时段的血糖监测。同时采取有效的针对性措施,如少食多餐,餐后运动,以及选择降低该时段餐后血糖的药物等,如此真正做到通过全天候血糖监测,达到全天候血糖控制,从而减少糖尿病并发症的目的。

References:

- [1] UK Prospective Diabetes Study Group. Intensive blood-glucose control with sulphonylureas or insulin compared with conventional treatment and risk of complications in patients with type 2 diabetes (UKPDS33) [J]. *Lancet*, 1998, 352:837—853.
- [2] American Diabetes Association. Standards of medical care for patients with diabetes mellitus [J]. *Diabetes Care*, 2002, 25(Suppl 1):S33—S49.
- [3] ALBERTI K G, ZIMMET P Z. Definition, diagnosis and classification of diabetes mellitus and its complications. Part 1: diagnosis and classification of diabetes mellitus provisional report of a WHO consultation [J]. *Diabet Med*, 1998, 15:539—553.
- [4] SABBAH H, MCCULLOCH K, FREDRICKSON G, et al. Detailed data from a Continuous Glucose Monitoring System (CGMS) facilitates comprehensive diabetes management recommendations [J]. *Diabetes*, 2000, 49 (Suppl 1):718.
- [5] STEIL G, REBRIN K, DANGUI N. Stability, Response time and inter-sensor variability of the Medtronic MiniMed subcutaneous glucose sensor [J]. *Diabetes*, 2003, 52(Suppl 1):426.
- [6] MONSOD T P, CAPRIO S, FLANAGAN D E, et al. Do Sensor glucose levels accurately predict plasma glucose concentrations during hypoglycemia and hyperinsulinemia? [J]. *Diabetes Care*, 2002, 25(5):889—893.
- [7] ARMSTRONG D, KING A. Reproducibility of glucose measurement using the glucose sensor [J]. *Diabetes*, 2003, 52(Suppl 1):384.
- [8] BOLAND E, MONSOD T, TELUCIA M, et al. Limitations of conventional methods of self-monitoring of blood glucose [J]. *Diabetes Care*, 2001, 24(10):1858—1862.
- [9] AMIN R, EDGE J A, ROSS K, et al. Hypoglycemia Prevalence in prepubertal children with diabetes on standard insulin regimen. Use of Continuous Glucose Monitoring System [J]. *Diabetes Care*, 2003, 26(3):662—667.

[责任编辑 张荣连]

(上接第569页)

- [11] LI Jian-ping, CHEN Jin-song (李建平, 陈劲松). Detection of respiratory viral antigens in 165 children by immunoenzyme bridge technique [J]. *Chinese medicine of factories and mines* (中国厂矿医学), 1999, 12(3):164—165. (in Chinese)
- [12] GARBINO J, GERBASE M W, WUNDERLI W, et al. Respiratory viruses and severe low respiratory tract complications in hospitalized patients [J]. *Chest*, 2004, 125(3):1033—1039.
- [13] DELPORT S D, BRISLEY T. Aetiology and outcome of severe Community acquired pneumonia in children admitted to a paediatric intensive care unit [J]. *S Afr Med J*, 2002, 92(11):907—911.
- [14] VAN D S, MARIANNE A B, GOETGHEBUER T, et

al. seasonal variation in respiratory syncytial virus epidemics in the Gambia, west Africa [J]. *Pediatr Infect Dis J*, 2004, 23(1):73—74.

- [15] NAVARRO M J M, PALACIOS D V E, PEREZ R M, et al. The impact of influenza viruses on hospitalizations in infants younger than two years old during epidemics of respiratory syncytial virus infection [J]. *Clin Microbiology & Infection*, 2003, 9(9):959—963.
- [16] LAUNDY M, AJAYI O E, HAWRAMI K, et al. Influenza A Community -acquired pneumonia in east London infants and young children [J]. *Pediatr Infect Dis J*, 2003, 22(10 suppl):S223—227.

[责任编辑 张荣连]